

# Метод на редуцирания базис, приложен към модел за растеж на популация

Петър Рашков  
Годишна отчетна сесия на секция „ММЧА“  
ИМИ-БАН

12.12.2021

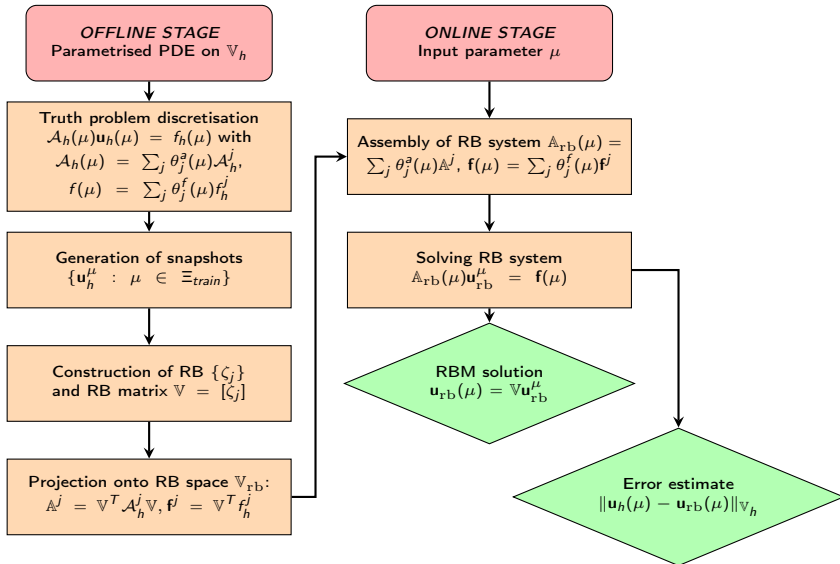
Това изследване е подкрепено от Фонд „Научни изследвания“ по Националната научна програма „Петър Берон и НИЕ“ на МОН с договор № КП-06-ДБ-5.

параметрична параболична задача с входен параметър  $\mu \in \mathcal{M}$

$$\begin{aligned}\partial_t u(t, x) &= \mathcal{L}(u, t, x, \mu), \\ u(0, \cdot) &= u_0, \\ u(t, \cdot) &= 0 \text{ върху } \partial\Omega, \forall t \in (0, T_{max}],\end{aligned}\tag{1}$$

$\mathcal{M}$  – компактно множество,  
 $\mathcal{L}$  – елиптически оператор .

# Схема на метода на редуцирания базис



(Quarteroni et al., 2016, стр. 9)

Input:  $\Xi_{train}, N_1, N_2 \in \mathbb{N}, N_2 < N_1, N = 0, \ell = 1, \mathcal{Z} = \emptyset, \varepsilon_{tol}$

While  $(\Delta(\mu_\ell) > \varepsilon_{tol})$  do:

- 1 Compute trajectory  $U_h(\mu_\ell) = \{u_h^1(\mu_\ell), u_h^2(\mu_\ell), \dots, u_h^k(\mu_\ell)\}$
- 2 Retain  $N_1$  principal nodes:  $\{\zeta_j\}_{j=1}^{N_1} \leftarrow \text{POD}(U_h(\mu_\ell), N_1)$
- 3 Enrich the basis:  $\mathcal{Z} \leftarrow \mathbb{V}_{rb} \cup \{\zeta_j\}_{j=1}^{N_1}$
- 4  $N \leftarrow N + N_2$
- 5 Retain  $N$  principal nodes:  $\{\xi_j\}_{j=1}^N \leftarrow \text{POD}(\mathcal{Z}, N)$
- 6  $\mathbb{V}_{rb} \leftarrow \text{span}\{\xi_j\}_{j=1}^N$
- 7  $\mu_{\ell+1} \leftarrow \arg \max_{\mu \in \Xi_{train}} \Delta(\mu)$
- 8  $\ell \leftarrow \ell + 1$

Output:  $\mathbb{V}_{rb}, N$

Използваме метода на крайните елементи и равномерна мрежа във времето със стъпка  $\tau$  с подходяща схема за интегриране (неявна ойлерова схема)

Пресмятаме приближението  $u_h^k(\mu)$  на точното решение  $u(t_k, \cdot; \mu)$  във възли  $t_k \stackrel{\text{def}}{=} k\tau, k \in \mathbb{N}$

Решението за  $k$ -тия слой се получава от нелинейна елиптична задача:

$$\mathcal{A}^k(\mu)(u_h^k(\mu)) = f^{(k-1)}(\mu),$$

която решаваме по метода на Нютон

- логистичен растеж

$$\begin{aligned}\frac{\partial u}{\partial t} &= d_1 \Delta u + u(\mu - u), \\ u(x, t) &= 0, \quad x \in \partial\Omega, t \in [0, t_{max}]\end{aligned}\tag{2}$$

- Лотка-Волтера

$$\begin{aligned}\frac{\partial u_1}{\partial t} &= d_1 \Delta u_1 + u_1(a_1(\mu) - u_1 - c_1 u_2), \\ \frac{\partial u_2}{\partial t} &= d_2 \Delta u_2 + u_2(a_2 - u_2 - c_2 u_1) \\ u_1(t, x) &= u_2(t, x) = 0, x \in \partial\Omega, t \in [0, t_{max}]\end{aligned}\tag{3}$$

$f$  – нелинейната функция

Въвеждаме

$$\|w\|_\alpha \stackrel{\text{def}}{=} \sqrt{\alpha(w, w)} :$$

- $\alpha(u, v) \stackrel{\text{def}}{=} \int_\Omega d_1 \nabla u \cdot \nabla v \, dx, \quad u, v \in H_0^1(\Omega)$
- $\alpha(u, v) \stackrel{\text{def}}{=} \int_\Omega d_1 \nabla u_1 \cdot \nabla v_1 \, dx + \int_\Omega d_2 \nabla u_2 \cdot \nabla v_2 \, dx, \quad u, v \in H_0^1(\Omega) \times H_0^1(\Omega)$

Имаме

$$a_{\min} \|w\|_\alpha \leq \alpha(w, w)$$
$$\alpha(u, v) \leq \gamma_{\max} \|u\|_\alpha \|v\|_\alpha$$

Въвеждаме резидуум

$$r^k(\phi; \mu) = \langle f(u_{\text{rb}}^k; \mu), \phi \rangle - \frac{1}{\tau} \langle u_{\text{rb}}^k - u_{\text{rb}}^{k-1}, \phi \rangle - \alpha(u_{\text{rb}}^k, \phi), \quad \forall \phi \in \mathbb{V}_h. \quad (4)$$

и норма

$$\|r^k(\cdot; \mu)\|_* \stackrel{\text{def}}{=} \sup_{\phi \in \mathbb{V}_h} \frac{|r^k(\phi; \mu)|}{\|\phi\|_\alpha}. \quad (5)$$



Нека  $f$  е (локално) липшицова с константа  $\ell_{sup}$  и  $\tau < \frac{1}{2\ell_{sup}}$ .  
Апроксимационната грешка в  $k$ -тия слой  $k\tau$ ,

$$e_k(\mu) = u_h^k(\mu) - u_{rb}^k(\mu),$$

при неявната ойлорова схеме може да бъде оценена по следния начин:

$$\|e_k(\mu)\|_{L^2}^2 \leq \frac{\|e_0\|_{L^2}^2}{(1 - 2\tau\ell_{sup})^k} + \frac{\tau}{a_{min}} \sum_{j=1}^k \frac{\|r^j(\mu)\|_*^2}{(1 - 2\tau\ell_{sup})^{k+1-j}} \quad (6)$$

използваме  $\Delta_N(\mu) = \|e_k(\mu)\|_{L^2}$

Решението в подпространството на редуцирания базис за  $k$ -тия слой (по метода на Нютон) и апостериорната оценка на грешката се пресмятат с помощта на матрици и тримерни масиви, образувани от елементите на редуцирания базис.

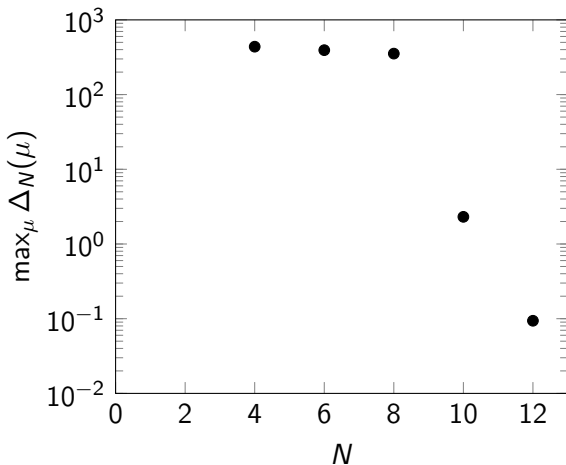
Използваме

- $\Omega = [0, 10]^2$
- $u_1(0, x, y) = \sin \pi x \sin \pi y$  (задача (2));  $u_2(0, \cdot) = u_1(0, \cdot)$  (задача (3))

- CPU time gain factor =  $\frac{\text{CPU time truth}}{\text{CPU time RB}}$
- грешка на апроксимация

$$\|e_{T_{end}}(\mu)\|_2 = \|u_{rb}(\mu, T_{end}) - u_h(\mu, T_{end})\|_2$$

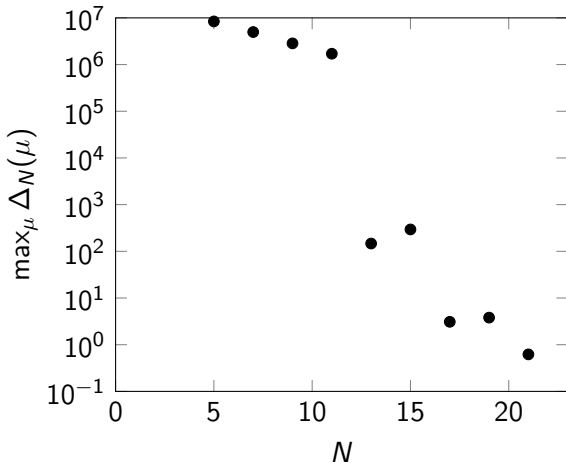
Фигура:  $\mu \in [1, 1.15]$ ,  $t \in [0, 1]$ ,  $\tau = 0.02$ ,  $|\mathbb{V}_h| = 6561$ ,  $N_1 = 4$ ,  $N_2 = 2$ ,  $\Xi_{train} = \{1, 1.03, 1.06, \dots 1.48\}$ ,  $\varepsilon_{tol} = 0.1$



$\mu$	CPU time gain factor	$\ e_{T_{end}}(\mu)\ _2$
1.03	14.0966	0.00508685
1.17	14.0986	0.00580960
1.26	14.1912	0.00627375
1.38	13.7241	0.00688618
1.47	13.8146	0.00733917

**Таблица:** Офлайн тестване, РБ с  $|\mathbb{V}_{rb}| = 12$ . CPU time gain factor = CPU time truth/CPU time RB,  $L^2$ -апр. грешка  $\|u_{rb}(T_{end}) - u_h(T_{end})\|$ . Грешката е под получената при алчния алгоритъм  $\varepsilon_{tol} = 0.093$ .

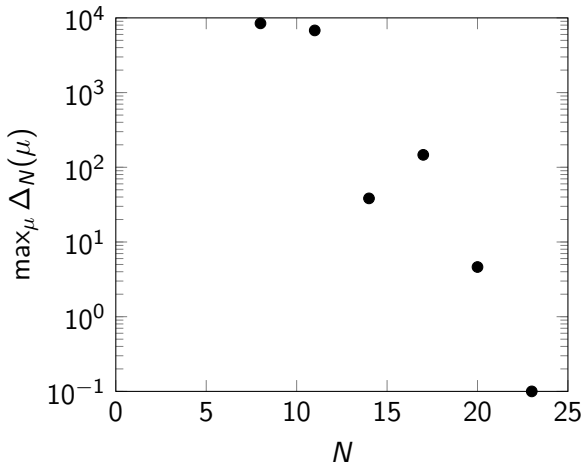
Фигура:  $\mu \in [1, 1.15]$ ,  $t \in [0, 3]$ ,  $\tau = 0.02$ ,  $|\mathbb{V}_h| = 6561$ ,  $N_1 = 5$ ,  $N_2 = 2$ ,  $\Xi_{train} = \{1, 1.05, 1.1, \dots, 1.5\}$ ,  $\varepsilon_{tol} = 1$



$\mu$	CPU time gain factor	$\ e_{T_{end}}(\mu)\ _2$
1.03	3.32329	0.0102786
1.17	3.33476	0.0113846
1.26	3.25391	0.0120744
1.38	3.27851	0.0129604
1.47	3.27096	0.0135968

**Таблица:** Офлайн тестване, РБ с  $|\mathbb{V}_{rb}| = 21$ . Грешката е под получената при алчния алгоритъм  $\varepsilon_{tol} = 0.62$ .

Фигура:  $\mu \in [0, 0.15]$ ,  $t \in [0, 4]$ ,  $\tau = 0.05$ ,  $|\mathbb{V}_h| = 6561$ ,  $N_1 = 8$ ,  $N_2 = 3$ ,  $\Xi_{train} = \{0, 0.03, 0.06, \dots, 0.15\}$ ,  $\varepsilon_{tol} = 1$





$\mu$	CPU time gain factor	$\ e_{T_{end}}(\mu)\ _2$
0.04	8.05688	0.00016748
0.07	8.05724	0.000157639
0.11	8.32901	0.000148481

Таблица: Офлайн тестване, РБ с  $\dim \mathbb{V}_{rb} = 23$ .

- M. A. Grepl and A. T. Patera. A posteriori error bounds for reduced-basis approximations of parametrized parabolic partial differential equations. *ESAIM: Modélisation Mathématique et Analyse Numérique*, 39:157–181, 2005.
- B. Haasdonk and M. Ohlberger. Reduced basis method for finite volume approximations of parametrized linear evolution equations. *ESAIM: Modélisation Mathématique et Analyse Numérique*, 42:277–302, 2008.
- J. S. Hesthaven, G. Rozza, and B. Stamm. *Certified Reduced Basis Methods for Parametrized Partial Differential Equations*. Springer International, 2016.
- A. Quarteroni, A. Manzoni, and F. Negri. *Reduced Basis Methods for Partial Differential Equations*. Springer International, 2016.